

LiFePO₄:水热合成及性能研究

张 静 刘素琴 黄可龙* 赵裕鑫

(中南大学化学化工学院功能材料化学研究所,长沙 410083)

关键词: 锂离子电池; 正极材料; LiFePO₄

中图分类号: O614.111; TM912 文献标识码: A 文章编号: 1001-4861(2005)03-0433-04

LiFePO₄: Hydrothermal Synthesis and Properties

ZHANG Jing LIU Su-Qin HUANG Ke-Long* ZHAO Yu-Xin

(Institute of Functional Materials & Chemistry, College of Chemistry and Chemical Engineering, Central South University, Changsha 410083)

Abstract: Pure olive-type phased LiFePO₄ powders were successfully synthesized by hydrothermal processes. The samples were investigated by X-ray diffraction, scanning electron microscopy and so on. Results showed that hydrothermal product were of pure olive-type phase with a relatively smaller particle size and regularer morphology compared with the products prepared by solid-state reaction and ball milling activation approaches. Charge/discharge curves at 0.5 C rate revealed that the hydrothermal products had a first discharge capacity of 124 mAh·g⁻¹, and the capacity fading rate was only 10.7% after 50 cycles.

Key words: lithium ion battery; cathodes material; LiFePO₄

LiFePO₄ 是继尖晶石型 LiMn₂O₄^[1]之后的一种新型锂离子电池正极材料,其具有结构稳定,工作电位适中(3.45 V vs Li/Li⁺)、可逆容量高、无毒价廉等优点,被认为是极具发展潜力的锂离子电池正极材料^[2]。有关 LiFePO₄ 的结构^[3]和性能^[4]研究引人关注。目前,LiFePO₄ 主要是采用高温固相法^[5]来合成,尽管简单方便,但由于该传统方法的局限性,很难得到纯度高、粒径小、电性能好的 LiFePO₄。因此人们尝试用微波加热^[6]、溶胶-凝胶^[7]、共沉淀^[8]等制备方法,希望得到理想的 LiFePO₄ 材料,但是采用水热法制备 LiFePO₄ 鲜见报道。

本文采用水热法制备了纯相的 LiFePO₄ 材料,并与高温固相法、球磨活化法^[9]得到的 LiFePO₄ 相比

较。研究了 LiFePO₄ 的结构和形貌以及其作为锂离子二次电池正极材料的电性能。

1 实验部分

1.1 材料的制备

水热法制备 LiFePO₄,首先以物质的量比为 1:3:1 的比例分别称取 FeSO₄·7H₂O (A.R.)、LiOH·H₂O(A.R.)、H₃PO₄(C.A.),为避免生成 Fe(OH)₂ 而最终氧化成 Fe(OH)₃,先将 H₃PO₄ 与 FeSO₄·7H₂O 混合,加入少量蒸馏水,充分搅拌使之溶解,再将溶解的 LiOH 溶液缓慢加入混合溶液中,并搅拌混合均匀,然后,移入高压反应釜(大连通产 FYX-0.3 型)中,在 220 ℃,23.2×10⁵ Pa 下,以 150 rpm 搅拌速度恒温恒压加热

收稿日期:2004-08-03。收修改稿日期:2004-11-07。

国家自然科学基金(No.20376086),高等学校博士学科点专项科研基金(No.20030533001)资助项目。

*通讯联系人。E-mail:klhuang@mail.csu.edu.cn,Tel:13974828682

第一作者:张 静,女,25岁,硕士研究生;研究方向:功能材料化学。

1 h。反应后冷却至室温,用布氏漏斗抽滤,蒸馏水反复洗涤,在真空干燥箱中于 40 ℃干燥 2 h,得产物(样品编号为 A)。

另外,以 $\text{FeC}_2\text{O}_4 \cdot 2\text{H}_2\text{O}$ (AR)、 $\text{LiOH} \cdot \text{H}_2\text{O}$ (A.R.)、 $(\text{NH}_4)_2\text{HPO}_4$ (A.R.)为原料,按物质的量的比为 1:1:1 的比例分别称取两份一定量的各组分,分别采用球磨活化法和高温固相法来合成 LiFePO_4 。根据已报道的优化条件和已进行的优化实验,球磨活化法是将各原料混合,在无水乙醇(A.R.)中高速球磨 8 h,干燥后转移至管式炉中,通高纯氮气保护,于 600 ℃加热 36 h,得到产物(样品编号为 B)。高温固相法是将各组分混合均匀,在高纯氮气的保护下,于 350 ℃恒温加热 4 h。再升至 700 ℃反应 12 h,得产物(样品编号为 C)。

1.2 材料的表征

采用 XD-98 型全自动 X 射线衍射仪进行样品的物相分析($\text{Cu } K\alpha_1, \lambda=0.15406 \text{ nm}, 40 \text{ kV}, 40 \text{ mA}$);通过扫描电镜(型号:JSM-5600,20 kV)和激光粒度分析仪(型号:MS-2000 英国马尔文,测量范围:0.02~2 000 μm)对正极材料进行形貌分析和粒度的测定。

1.3 电化学性能测试

将 LiFePO_4 、乙炔黑、PVDF 按质量比为 75:20:5 混合均匀,充分干燥后压制在 1 cm^2 的不锈钢网上,制成正极片。以金属锂片为对电极,1 mol·L⁻¹ $\text{LiPF}_6/\text{EC+DMC}$ (1:1)为电解液,在氩气保护的 MBRAUN 手套箱中,组装成双电极电池。采用武汉力兴程控电池测试仪(型号:PCBT-32D-D)研究电池从 2.5~4.0 V 范围内的充放电性能。

2 结果与讨论

2.1 XRD 分析

图 1 是各样品的 X 射线衍射图。将各衍射峰的位置和相对强度与 JCPDS 卡对照,发现水热法得到的样品的衍射峰与标准衍射峰的峰位相同,峰形狭窄且对称,根据数据计算晶胞参数为 $a=0.6013 \text{ nm}$, $b=1.0342 \text{ nm}$, $c=0.4695 \text{ nm}$,与文献数据^[10]非常接近。说明水热法可以制备结晶性良好、纯相的 LiFePO_4 。与之比较,其他两个样品的衍射图中都出现了一些细小的杂峰。样品 B 中发现了 Fe_2O_3 的细峰,样品 C 中也可以看到明显的 $\text{Li}_4\text{P}_2\text{O}_7$ 和 Fe_2O_3 杂质峰,这是因为高温固相法和球磨活化法都是在高温条件下进行,容易发生焦磷酸化反应和亚铁的氧化反应生成杂质。尽管球磨活化法在烧结前进行了充分

球磨,能将部分机械能贮存于原料分子中,降低反应温度,但不能完全避免了杂质相的生成。水热法在制备 LiFePO_4 时,水体系形成了高压、绝氧的理想环境,大大降低了反应温度,缩短了反应时间,更有效避免了因高温和氧化引起的副反应,从而得到高纯度的 LiFePO_4 材料。

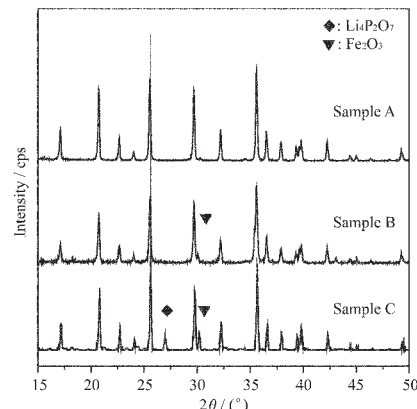
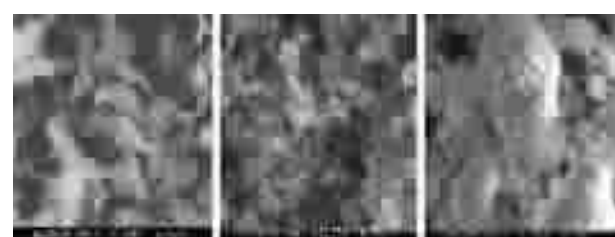


图 1 不同方法制备的 LiFePO_4 的 X 射线衍射图

Fig.1 X-ray diffraction patterns of LiFePO_4 prepared by different processes

2.2 材料的 SEM

对比各样品的 SEM 图(见图 2)可发现,水热法制备的 LiFePO_4 样品大小均一,都为 2 μm 左右,颗粒分散,无明显的团聚现象,颗粒呈规则的片状。高温固相法制备的 LiFePO_4 样品不仅颗粒较大而且分布不均匀,图中的颗粒从几微米到十几微米不等。所形成的颗粒没有规则的形貌并且粘结严重,甚至形成了几十微米的大颗粒。球磨活化法制备的 LiFePO_4 与高温固相法制备的相比,颗粒明显变小,但是许多小颗粒积聚在一起,说明球磨活化法同样存在粘结现象。这主要是因为晶粒在高温条件下趋向集聚粘结,而且粘结程度随温度和时间的增加而加剧。因此高温固相法和球磨活化法生成的样品颗



(a) Sample A (b) Sample B (c) Sample C

图 2 不同方法制备的 LiFePO_4 的 SEM 图

Fig.2 SEM micrographs of LiFePO_4 prepared by different processes

粒较大,分布不均。水热法的反应温度只有220℃,远远低于前两种方法,有效阻止了颗粒的团聚;并且,在高温高压下,水介质更有利物质的扩散,从而加快晶体的生长速率,减少了枝晶的生长,保存了良好的晶粒形貌^[1]。

2.3 粒度分析

图3是各样品的粒度分析图。可以看出水热法制备的LiFePO₄粒径最小,平均大小为2.147 μm,而且分布范围窄。高温固相法制备的LiFePO₄粒径分布最宽,其中平均大小为21.402 μm;球磨活化法得到的LiFePO₄粒径分布相对较窄,但出现了两个最可几分布,分别在3.167 μm和8.860 μm,平均大小为13.32 μm。这主要是因为水热反应过程中,材料在高温高压下经过了溶解-析出过程,有效地控制了颗粒的大小。球磨活化法将原料进行球磨形成了超细粒子,但经过高温处理后,不仅粒子本身发生了明显的长大,而且颗粒间发生了烧结现象,形成了较大的二次颗粒。可以认为,与其他两种方法相比,水热法合成LiFePO₄样品具有粒度小,分布范围窄的优点。

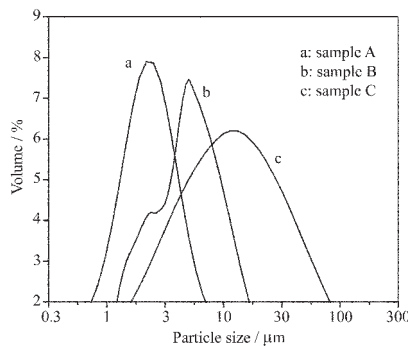


图3 不同方法制备的LiFePO₄的粒度分布图

Fig.3 Particle size distribution for LiFePO₄ by different preparation methods

2.4 电化学性能

将组装的电池在2.5和4.0 V之间以0.5 C的倍率进行充放电实验,并循环50次以测试所制备的正极材料的电化学性能。图4是各样品的首次充放电比容量对电压的曲线图。可以看出,与高温固相法和球磨活化法得到的LiFePO₄相比,水热法制备的LiFePO₄有更平缓的充放电平台,平台电压也更接近于理论值(3.45 V),首次充放效率为94.7%、略高于球磨活化法的92.02%和高温固相法93.87%,最重要的是水热法首次充放电比容量分别达到131 mAh·g⁻¹、124 mAh·g⁻¹,远高于其他两种方法制备的

LiFePO₄。

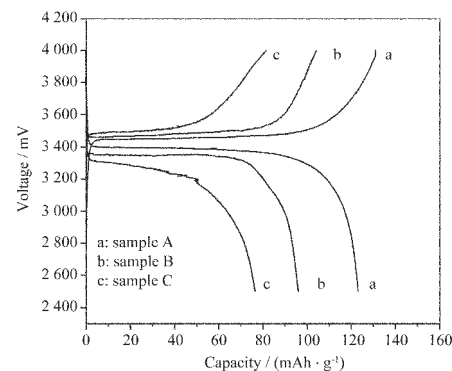


图4 不同方法制备的LiFePO₄的首次充放电曲线

Fig.4 First charge-discharge characteristics of LiFePO₄ prepared by different processes

样品的放电比容量与循环次数的关系如图5所示。可以看出,水热法合成的LiFePO₄循环50次后,可逆放电比容量降为112 mAh·g⁻¹,容量仅损失10.7%;高温固相法和球磨活化法制得的LiFePO₄循环50次后,可逆放电比容量分别衰减了22.5%和15.1%。值得注意的是,水热法制备LiFePO₄的容量衰减随着循环次数的增加而减少,尤其是充放电10次后,容量几乎没有损失。可以认为,水热法合成的LiFePO₄正极材料在充放电过程中,极化作用最小,可逆性和循环性明显优于其他两种方法制备的LiFePO₄。

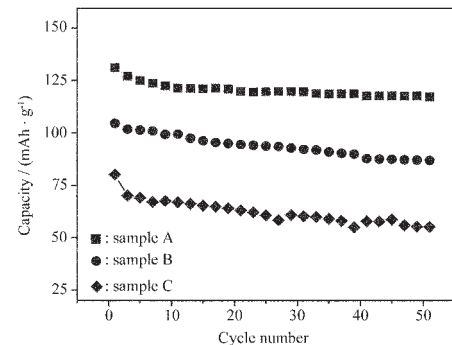


图5 不同方法制备的LiFePO₄的循环性能

Fig.5 Cycle performance of LiFePO₄ prepared by different processes

根据样品的电镜图与粒度分析图并结合电性能结果可知,LiFePO₄的电性能与材料的颗粒大小有直接关系,颗粒越小,分布越均匀,性能越优良。这是因为在LiFePO₄充放电过程中,锂离子随之在晶粒内脱出和嵌入,并且自由迁徙的锂离子数量决定了LiFePO₄的充放电容量。锂离子在进出大粒径的颗

粒时,要经历较长的路径,颗粒中央的 LiFePO₄会因为路径远,锂离子活动阻力大,而不能被激活,形成充放电过程中的“死角”,从而影响充放电容量;并且颗粒的“死角”区会随着循环次数的增多而加大,造成容量的衰减。因此,由于水热法制备的 LiFePO₄颗粒小,粒径分布窄,有利于锂离子的脱嵌,所以可逆容量和循环性能都最佳。球磨活化法得到的 LiFePO₄颗粒虽小,但粘结在一起形成了较大的二次颗粒,从而降低了材料的电化学性能。高温固相法获得的 LiFePO₄颗粒最大,锂离子进出的阻力也最大,因而电化学性能最不理想。此外,球磨活化法和高温固相法制备的 LiFePO₄均含有无电活性的杂质,这也是造成样品 B 和 C 比容量减少的原因之一。

3 结 论

水热法可以制备高纯度、小粒径的 LiFePO₄ 正极材料。实验发现,所得的 LiFePO₄ 具有良好的电性能。以 0.5 C 倍率充放电,比容量为理论值的 77.1%,循环 50 次后,仅衰减 10.7%。

与球磨活化法和高温固相法相比,水热法合成 LiFePO₄,不仅可以降低能耗,而且还有利于提高材料的电活性。实验比较,水热法得到的 LiFePO₄ 平均可逆比容量比其他两种方法分别高出 15% 和 30%,循环性能也大大提高。

参考文献:

- [1] HUANG Ke-Long(黄可龙), ZHAO Jia-Chang(赵家昌), LIU Su-Qin(刘素琴), et al. *Jinshu Xuebao(Acta Metallurgica Sinica)*, **2003**,**39**(7):739~743
- [2] Padhi A K, Nanjundaswamy K S, Masquelier C, et al. *Journal of Electrochemical Society*, **1997**,**144**:1188~1194
- [3] Yang S F, Song Y N, Zavalij P Y, et al. *Journal of Power Source*, **2003**,**119~121**:239~246
- [4] Prosinia B P P, Carewska M, Scaccia S, et al. *Electrochimica Acta*, **2003**,**48**:4205~4211
- [5] Takahashi M, Tobishima S, Takei K, et al. *Journal of Power Sources*, **2001**,**97~98**:508~511
- [6] Higuchia M, Katayama K, Azuma Y, et al. *Journal of Power Sources*, **2003**,**119~121**:258~261
- [7] Croce F, D' APifanio A, Hassoun J, et al. *Electrochemical and Solid-state Letters*, **2002**,**5**(3):A47~A50
- [8] Arnold G, Garche J, Hemmer R, et al. *Journal of Power Sources*, **2003**,**119~121**:247~251
- [9] SHI Zhi-Cong(施志聪), LI Chen(李晨), YANG Yong(杨勇). *Dianhuaxue(Electrochemistry)*, **2003**,**9**(1):9~13
- [10] Padhi A K, Nanjundaswamy K S, Masquelier C, et al. *Journal of Electrochemical Society*, **1997**,**144**:1609~1613
- [11] SHI Er-Wei(施而畏), XIA Chang-Tai(夏长泰), WANG Bu-Guo(王步国), et al. *Wuji Cailiao Xuebao(Journal of Inorganic Materials)*, **1996**,**11**(2):193~205